

REGIONE CAMPANIA
PROVINCIA DI AVELLINO

COMUNE DI FRIGENTO
COMUNE DI GUARDIA LOMBARDI
COMUNE DI ROCCA SAN FELICE
COMUNE DI STURNO
COMUNE DI BISACCIA



AUTORIZZAZIONE UNICA
ex d.lgs. 387/2003

Costruzione ed esercizio di un impianto di produzione di energia elettrica da fonte eolica denominato "Taverna del Principe" da realizzarsi nel comune di FRIGENTO (AV) e delle opere ed infrastrutture connesse da realizzarsi nei comuni di FRIGENTO (AV), GUARDIA LOMBARDI (AV), ROCCA SAN FELICE (AV), STURNO (AV) e BISACCIA (AV), avente potenza nominale pari a 39,6 MW

Titolo elaborato

Codice elaborato

COMMESSA	FASE	ELABORATO	REV.
F0474	A	R08	A

Riproduzione o consegna a terzi solo dietro specifica autorizzazione.

Scala

—

Relazione tecnica delle opere civili da realizzare

DATA	DESCRIZIONE	REDATTO	VERIFICATO	APPROVATO
Gennaio 2022	Prima emissione	ADP	GDS	GMA

Proponente

Camelia Rinnovabili s.r.l.

Largo Augusto 3
20122 Milano



Progettazione



F4 Ingegneria srl

Via Di Giura - Centro direzionale, 85100 Potenza
Tel: +39 0971 1944797 - Fax: +39 0971 55452
www.f4ingegneria.it - f4ingegneria@pec.it

Il Direttore Tecnico
(ing. Giovanni DI SANTO)



Società certificata secondo la norma UNI-EN ISO 9001:2015 per l'erogazione di servizi di ingegneria nei settori: civile, idraulica, acustica, energia, ambiente (settore IAF: 34).





Sommario

1	Descrizione degli aerogeneratori	3
1.1	Torre di sostegno	4
1.2	Rotore e pale	4
1.3	Navicella	5
1.4	Generatore	5
1.5	Sistema d'imbardata	6
1.6	Sistema di controllo	6
1.7	Sistema frenante	6
2	Opere Civili	7
2.1	Fondazioni	7
2.2	Adeguamenti viabilità esistente	7
2.2.1	Descrizione della viabilità di accesso all'area	7
2.2.2	Descrizione della viabilità interna al parco	7
2.3	Piazzole di montaggio e stoccaggio	10
2.4	Area logistica di cantiere	11
2.5	Dimensioni Complessive e Stima Movimenti terra di Strade e Piazzole	12
3	Connessione alla RTN	14
3.1	Cavidotti, rete elettrica e sottostazione	15
4	Ripristini e Stato finale dell'opera	16
5	Dimensionamento dell'impianto	17
5.1	Regime di vento del sito e disposizione ed orientamento degli aerogeneratori	18





5.2	Impianto elettrico	21
6	Criteria di scelta delle soluzioni impiantistiche di protezione contro i fulmini, con l'individuazione e la classificazione del volume da proteggere	24
6.1	Individuazione delle strutture da proteggere	24
6.2	Calcolo delle componenti di rischio	24
6.3	Verifica del dispersore dell'aerogeneratore ai fini della protezione contro i fulmini	29



1 Descrizione degli aerogeneratori

Il parco eolico sarà composto da 6 aerogeneratori (F01, F02, F03, F04, F05 e T6) del tipo Siemens Gamesa SG 6,6-170 MW-HH115 o similare, per una potenza complessiva di 39,6 MW, ricadenti nel comune di Frigento.

I comuni di: Bisaccia, Guardia Lombardi, Rocca San Felice, Frigento e Sturmo saranno interessati dalla realizzazione delle opere civili, mentre il comune di Bisaccia ospiterà anche la Sottostazione Elettrica di Trasformazione (SET) per la connessione del nuovo impianto eolico alla Rete di Trasmissione Nazionale (RTN).

Le caratteristiche dimensionali degli aerogeneratori di progetto sono sintetizzate nella seguente tabella:

Potenza nominale aerogeneratore	6,6 MW
Diametro massimo rotore	170 m
Altezza hub	115 m
Altezza totale	200 m
Area spazzata	22.698 m ²
Posizione rotore	sopravento
Rate rotor speed	8,83 rpm
Numero di pale	3

Gli aerogeneratori sono ad asse orizzontale, costituiti da un sistema tripala. La tipica configurazione di un aerogeneratore di questo tipo prevede un sostegno costituito da una torre tubolare che porta alla sua sommità la navicella, all'interno della quale sono contenuti l'albero di trasmissione lento, il moltiplicatore di giri, l'albero veloce, il generatore elettrico, il trasformatore MT/BT e i dispositivi ausiliari.

La struttura in elevazione dell'aerogeneratore è costituita da una torre in acciaio di forma tronco-conica, realizzata in cinque tronchi assemblati in sito.

Il rotore si trova all'estremità dell'albero lento, è posto sopravento rispetto al sostegno, ed è costituito da tre pale fissate ad un mozzo, corrispondente all'estremo anteriore della navicella.

La navicella può ruotare rispetto al sostegno in modo tale da tenere l'asse della macchina sempre parallela alla direzione del vento (movimento di imbardata).

Rotore e generatore elettrico possono essere direttamente collegati oppure associati ad un moltiplicatore di giri. Indispensabile nei grandi aerogeneratori, il moltiplicatore di giri fa sì che la lenta rotazione delle pale permetta comunque una corretta alimentazione del generatore elettrico.

Opzionalmente gli impianti di energia eolica possono essere dotati di un ascensore in grado di trasportare due persone dalla base della torre alla gondola o viceversa.

Gli aerogeneratori potranno essere dotati di segnalazione cromatica, costituendo un ostacolo alla navigazione aerea a bassa quota. In particolare, ciascuna delle tre pale potrà essere verniciata sulle estremità con tre bande di colore rosso/bianco/rosso ognuna di larghezza minima pari a 6m, fino a coprire 1/3 della lunghezza della pala. È inoltre prevista l'installazione delle segnalazioni "notturne", costituite da luci intermittenti di colore rosso sull'estradosso della navicella. Ad ogni modo le prescrizioni degli Enti preposti (ENAC/ENAV) potranno modificare le suddette segnalazioni.



1.1 Torre di sostegno

La torre di sostegno di tipo tubolare avrà una struttura in acciaio ed un'altezza complessiva fino all'asse del rotore pari al massimo a 115 m per il modello Siemens Gamesa SG 6,6-170 MW-HH115, il colore della struttura sarà chiaro, avrà una forma tronco-conica e sarà costituita da cinque tronchi. Le diverse sezioni sono state ottimizzate per lunghezza, diametro e peso allo scopo di assicurare anche un peso adeguato al trasporto. Il collegamento tra le singole sezioni è realizzato in cantiere tramite flange bullonate fra loro. Il design dei tubi in acciaio è scelto in modo tale da permettere una combinazione modulare dei segmenti alle altezze al mozzo necessarie.

Le torri hanno un diametro della base di circa 4 m e sono composte da un diverso numero di sezioni ottimizzate per lunghezza, diametro e peso dal punto di vista del peso e del trasporto. In questo modo è assicurata la possibilità di un più semplice trasporto

Le sezioni di cui si compongono le torri saranno realizzate in officina quindi trasportati e montati in cantiere. La protezione dalla corrosione necessaria è realizzata da un rivestimento a più strati da sistemi di verniciatura conformi alla specificazione di protezione dalla corrosione.

La struttura interna delle torri tubolari in acciaio corrisponde ai requisiti generali per interventi industriali di montaggio e di servizio. A tal proposito le singole sezioni delle torri sono dotate di relative piattaforme di montaggio, sistemi di scale con elementi di sostegno, sistemi di illuminazione a norma e sistemi di illuminazione di emergenza. In questo modo interventi di assistenza e di montaggio sono quasi completamente indipendenti dalle condizioni atmosferiche esterne.

Alla base della torre ci sarà una porta che permetterà l'accesso ad una scala montata all'interno, dotata ovviamente di opportuni sistemi di protezione (parapetti). Per ogni tronco di torre è prevista una piattaforma di riposo. È previsto inoltre un sistema di illuminazione di emergenza interno.

1.2 Rotore e pale

Il rotore si trova all'estremità dell'albero ed è costituito da tre pale realizzate in fibra di vetro rinforzata con resina epossidica e fissate ad un mozzo, corrispondente all'estremo anteriore della navicella; il mozzo del rotore, realizzato in ghisa sferoidale, è montato sull'albero con un attacco a flangia e le dimensioni sono sufficienti a garantire l'accesso ai tecnici durante le fasi di manutenzione.

Il rotore è posto sopravento rispetto alla torre di sostegno e, nel caso del parco in oggetto, caratterizzato da un diametro pari a 170 m, con velocità variabile progettata per massimizzare la potenza e minimizzare emissioni acustiche.

Nelle turbine "sopravento", che sono di gran lunga le più diffuse è importante mantenere un allineamento più continuo possibile tra l'asse del rotore e la direzione del vento, per assicurare sempre il massimo rendimento dell'aerogeneratore. Nel grande eolico, per orientare il rotore nella direzione del vento rilevata da appositi sensori, e mantenerlo entro un opportuno angolo, si usa un *sistema di imbardata* poggiato su dei cuscinetti e dotato di un motore.

Le pale, a profilo alare e incernierate al mozzo, hanno lunghezza massima pari ad 83,5 m; sono realizzate in fibra di vetro rinforzata con carbonio e ottimizzate per operare a velocità variabile.

Le pale saranno verniciate con colore chiaro e protette dalle scariche atmosferiche da un sistema parafulmine integrato.

1.3 Navicella

La navicella è il corpo centrale dell'aerogeneratore posizionato sulla cima della torre, è una cabina in cui sono ubicati tutti i componenti di un aerogeneratore ed è vincolata alla testa della torre tramite un cuscinetto a strisciamento che le consente di ruotare sul suo asse di imbardata.

All'interno della navicella sono contenute le principali apparecchiature elettromeccaniche necessarie alla generazione di energia elettrica.

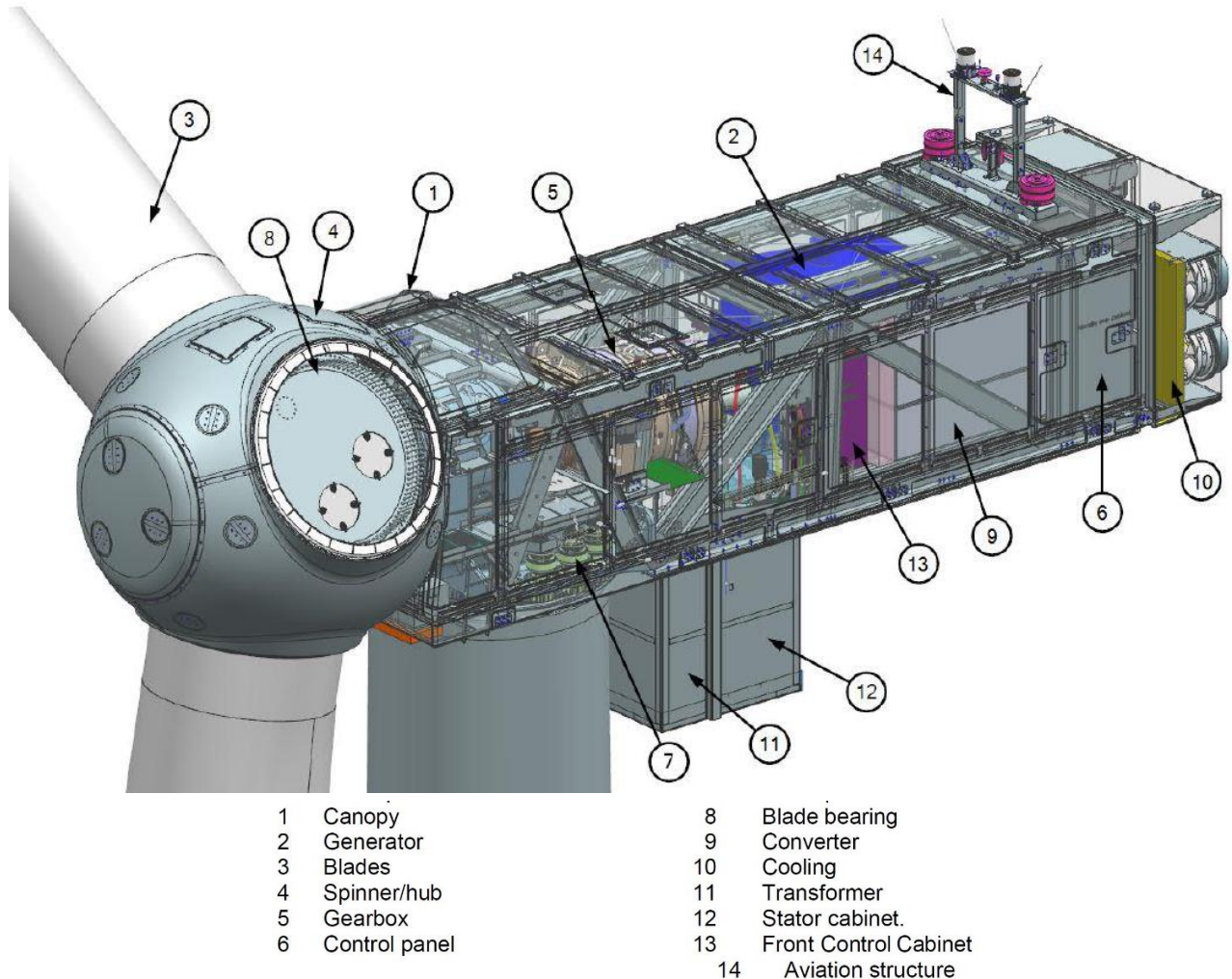


Figura 1: navicella

1.4 Generatore

Il generatore trasforma l'energia meccanica in energia elettrica. I giri al minuto dell'aerogeneratore, e quindi la frequenza dell'energia elettrica prodotta, sono molto variabili (come lo è la velocità del vento).

Il generatore è del tipo asincrono trifase a doppia alimentazione con rotore a gabbia, collegato alla rete tramite un convertitore di frequenza PWM che consente il funzionamento del generatore a velocità e tensione variabile, fornendo al contempo potenza costante. L'alloggiamento



del generatore consente la circolazione dell'aria di raffreddamento all'interno dello statore e del rotore. L'aria-acqua per lo scambio di calore avviene in uno scambiatore di calore esterno

1.5 Sistema d'imbardata

Negli aerogeneratori di media e grossa taglia l'esatto allineamento del rotore alla direzione del vento è un requisito essenziale per ottimizzare la resa e contemporaneamente evitare carichi aggiuntivi sull'aerogeneratore causati da un flusso d'aria obliquo, l'allineamento è garantito da un servomeccanismo, detto sistema di imbardata, mentre nei piccoli aerogeneratori è sufficiente l'impiego di una pinna direzionale. Nel sistema di imbardata un sensore, la banderuola, indica lo scostamento dell'asse della direzione del vento e aziona un motore che riallinea la navicella; essa fornisce una misurazione molto accurata della direzione del vento.

1.6 Sistema di controllo

Tutti i generatori eolici possiedono sistemi più o meno sofisticati di regolazione e controllo, in grado di adeguare istantaneamente le condizioni di lavoro della macchina al variare della velocità e della direzione dei venti.

Il funzionamento di un aerogeneratore, quindi, è regolato da un sistema di controllo che ne gestisce le diverse operazioni di lavoro e aziona il dispositivo di sicurezza per l'arresto in caso di malfunzionamento e di sovraccarico dovuto ad eccessiva velocità del vento.

Tutte le funzioni dell'aerogeneratore sono costantemente monitorate e controllate da diverse unità a microprocessore. La turbina eolica è dotata di sistema SGRE SCADA, il quale attraverso controllo remoto invia informazioni utili per la valutazione del funzionamento delle macchine, tra cui dati elettrici e meccanici, stato di funzionamento e guasto, dati meteorologici e della stazione.

Oltre al sistema SGRE SCADA, la turbina eolica è caratterizzata da un sistema che controlla il livello di vibrazione dei componenti principali e confronta l'effettivo spettro di vibrazione con una serie di spettri di riferimento stabiliti, revisionando poi i risultati si ottiene un'analisi dettagliata sullo stato degli aerogeneratori.

I dati trasmessi ai centri diagnostici, consentono la rilevazione precoce di anomalie e la prevenzione di potenziali guasti ottimizzando il piano di assistenza e anticipando le riparazioni prima che si verifichino danni gravi.

1.7 Sistema frenante

L'aerogeneratore è equipaggiato con due sistemi indipendenti di frenata (aerodinamico e meccanico) attivati idraulicamente e interconnessi al fine di controllare la turbina in tutte le condizioni di funzionamento. Il primo viene utilizzato per controllare la potenza dell'aerogeneratore, come freno di emergenza in caso di sovravelocità del vento e per arrestare il rotore. Il secondo viene utilizzato per completare l'arresto del rotore e come freno di stazionamento. Ciascun sistema, indipendentemente dall'inserimento dell'altro, è in grado di fermare la macchina.





2 Opere Civili

2.1 Fondazioni

L'aerogeneratore andrà a scaricare gli sforzi su una struttura di fondazione in cemento armato del tipo indiretto su pali. La fondazione è stata calcolata preliminarmente in modo tale da poter sopportare il carico della macchina e il momento prodotto sia dal carico concentrato posto in testa alla torre che dall'azione cinetica delle pale in movimento.

Le verifiche di stabilità del terreno e delle strutture di fondazione sono state eseguite con i metodi ed i procedimenti della geotecnica, tenendo conto delle massime sollecitazioni sul terreno che la struttura trasmette. Le strutture di fondazione sono dimensionate in conformità alla normativa tecnica vigente.

La fondazione degli aerogeneratori è su pali. Il plinto ed i pali di fondazione sono stati dimensionati in funzione delle caratteristiche tecniche del terreno derivanti dalle indagini geologiche e sulla base dall'analisi dei carichi trasmessi dalla torre (forniti dal costruttore dell'aerogeneratore).

La fondazione è costituita da un plinto su pali; il plinto ha un diametro pari a 23,70 m ed altezza variabile da 3,00 m (esterno gona aerogeneratore) a 0,50 m (esterno plinto); i pali sono 12 con di diametro pari a 1,00 m e lunghezza 20,00 m. Ad ogni buon conto, tutti i calcoli eseguiti e la relativa scelta dei materiali, sezioni e dimensioni andranno verificati in sede di progettazione esecutiva e potranno pertanto subire variazioni anche significative per garantire i necessari livelli di sicurezza. Pertanto, quanto riportato nel presente progetto, potrà subire variazioni in fase di progettazione esecutiva, in termini sia dimensionali (diametro platea, lunghezza e diametro pali) sia di forma (platea circolare/dodecagonale/etc., numero pali) fermo restando le dimensioni di massima del sistema fondazionale.

2.2 Adeguamenti viabilità esistente

2.2.1 Descrizione della viabilità di accesso all'area

Le aree interessate dal parco eolico risultano facilmente raggiungibili; il collegamento avviene attraverso viabilità Provinciale esistente per lo più idonea, in termini di pendenze e raggi di curvatura, al transito dei componenti necessari all'assemblaggio delle singole macchine eoliche in modo da minimizzare la viabilità di nuova costruzione.

L'accesso all'area parco potrà avvenire mediante viabilità locale/interpodereale, la quale rappresenta un collegamento diretto con la SS303.

2.2.2 Descrizione della viabilità interna al parco

L'ubicazione dell'impianto interessa un'area collinare con quote variabili comprese tra i 620 ed i 766 metri sul livello del mare, essa si articola e caratterizza morfologicamente grazie alla presenza di incisioni vallive di corpi idrici secondari o scoli naturali.

La viabilità interna al parco eolico, quindi sarà costituita da una serie di infrastrutture, in parte esistenti adeguate, in parte da adeguare e da realizzare ex-novo, che consentiranno di raggiungere agevolmente tutti i siti in cui verranno posizionati gli aerogeneratori.



La realizzazione di nuovi tratti stradali sarà contenuta e limitata ai brevi percorsi che vanno dalle strade esistenti all'area di installazione degli aerogeneratori, i percorsi stradali ex novo saranno genericamente realizzati in massicciate tipo macadam (oppure cementata nei tratti in cui le pendenze diventano rilevanti) similmente alle carrarecce esistenti e avranno una larghezza pari a 4 m.

Lo strato di terreno vegetale proveniente dalla decorticazione sarà opportunamente separato dal materiale proveniente dallo sbancamento, per poter essere riutilizzato nei riporti per il modellamento superficiale delle scarpate e delle zone di ripristino dopo le lavorazioni.

Inoltre, per ridurre il fenomeno dell'erosione delle nuove strade causato dalle acque meteoriche, lungo i cigli delle stesse sono previste delle fasce di adeguata larghezza, realizzate con materiale lapideo di idonea pezzatura, che oltre a consentire il drenaggio delle stesse acque meteoriche, saranno di contenimento allo strato di rifinitura delle strade.

Nelle zone in cui le strade di progetto percorreranno piste interpoderali esistenti, ove necessario, le opere civili previste consisteranno in interventi di adeguamento della sede stradale per la circolazione degli automezzi speciali necessari al trasporto degli elementi componenti l'aerogeneratore. Detti adeguamenti prevedranno degli allargamenti in corrispondenza delle viabilità caratterizzate da raggi di curvatura troppo stretti ad ampliamenti della sede stradale nei tratti di minore larghezza. Nella fattispecie, le necessità di trasporto dei componenti di impianto impongono che le strade abbiano larghezza minima di 4 m, nei tratti in curva la larghezza potrà essere aumentata ed i raggi di curvatura dovranno essere ampi (almeno 70 m); saranno quindi necessari interventi di adeguamento di alcune viabilità presenti al fine di consentire il trasporto degli aerogeneratori.

Nello specifico le viabilità di cantiere e gli adeguamenti realizzati sono da considerarsi temporanei, così come le aree di manovra con opportuni raggi di curvatura in quanto si prevede il ripristino allo stato originario al termine delle attività di cantiere.

Tutte le strade saranno realizzate seguendo l'andamento topografico esistente in loco, cercando di ridurre al minimo eventuali movimenti di terra, utilizzando come sottofondo materiale calcareo e rifinandole con una pavimentazione stradale a macadam, oppure cementata nei tratti in cui le pendenze diventano rilevanti.

Tracciato	Intervento di adeguamento (m)	Ex novo (m)
COLLEGAMENTO F01	650,00	0
ROAD F01	0	211,60
COLLEGAMENTO F02	500,00	0
ROAD F02	0	490,60
COLLEGAMENTO F03-F04-F05	1228,00	0
ROAD F03	0	208,90
ROAD F04	0	348,40
ROAD F05	0	417,10
COLLEGAMENTO F06	288,00	0
ROAD F06	0	270,30
Totali	2.666,00	1.946,90

Tabella 1: Lunghezza tracciati stradali di progetto e da adeguare



Figura 2: Tracciati stradali di progetto in nero e da adeguare in rosso

Tutte le strade realizzate ex novo saranno, in futuro, solo utilizzate per la manutenzione degli aerogeneratori, chiuse al pubblico passaggio (ad esclusione dei proprietari dei fondi interessati), e saranno realizzate seguendo il più possibile l'andamento topografico esistente in loco.

Per quanto possibile, all'interno dell'area di intervento si cercherà di utilizzare la viabilità esistente, costituita da stradine interpoderali in parte anche asfaltate, eventualmente adeguate alle necessità sopra descritte. L'adeguamento potrà consistere:

- nella regolarizzazione e spianamento del fondo;
- nell'allargamento della sede stradale;
- nel cambiamento del raggio di alcune curve.

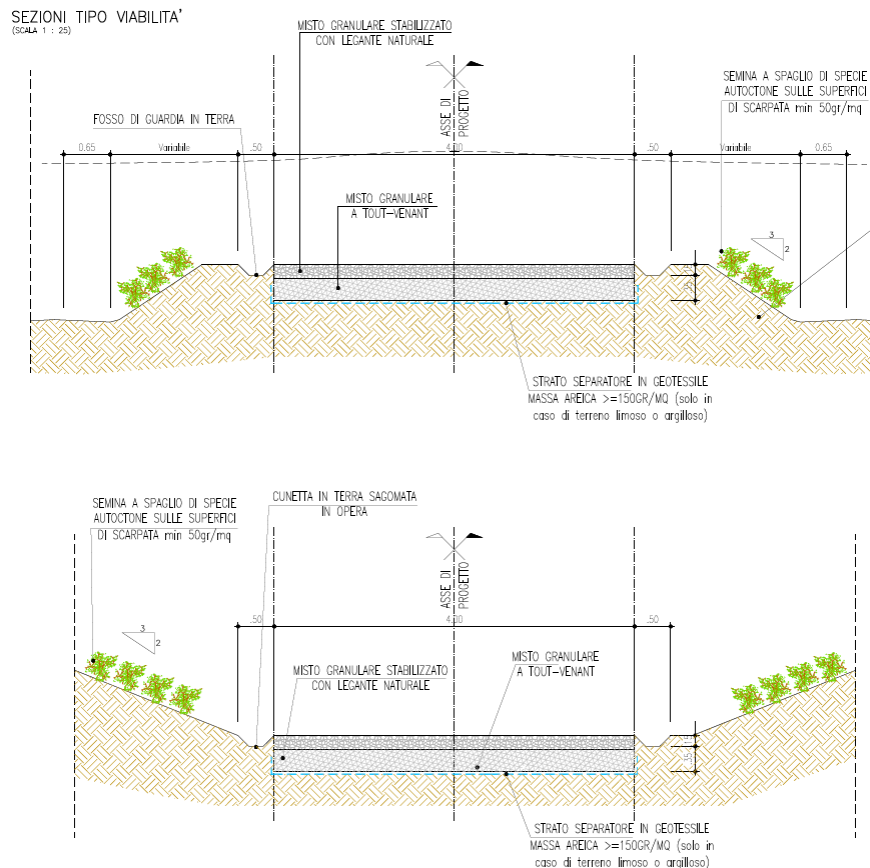


Figura 3: Sezioni stradali tipo

2.3 Piazzole di montaggio e stoccaggio

Ogni aerogeneratore è collocato su una piazzola contenente la struttura di fondazione delle turbine e gli spazi necessari alla movimentazione dei mezzi e delle gru di montaggio.

Le piazzole di montaggio dei vari componenti degli aerogeneratori sono poste in prossimità degli stessi e devono essere realizzate in piano o con pendenze minime (dell'ordine del 1-2% al massimo) che favoriscano il deflusso delle acque e riducano i movimenti terra. Le piazzole devono contenere un'area sufficiente a consentire sia lo scarico e lo stoccaggio dei vari elementi dai mezzi di trasporto, sia il posizionamento delle gru (principale e secondarie). Esse devono quindi possedere i requisiti dimensionali e plano altimetrici specificatamente forniti dall'azienda installatrice degli aerogeneratori, sia per quanto riguarda lo stoccaggio e il montaggio degli elementi delle turbine stesse, sia per le manovre necessarie al montaggio e al funzionamento delle gru.

Nel caso di specie, la scelta delle macchine comporta la necessità di reperire per ogni aerogeneratore un'area libera da ostacoli di dimensioni pari a circa 5.300 m² costituita da:



- Area oggetto di installazione turbina e relativa fondazione (non necessariamente alla stessa quota della piazzola di montaggio);
- area montaggio e stazionamento gru principale;
- area stoccaggio navicella;
- area stoccaggio trami torre;
- area movimentazione mezzi.

Tali spazi devono essere organizzati in posizioni reciproche tali da consentire lo svolgimento logico e cronologico delle varie fasi di lavorazione; attigua alle piazzole precedenti è prevista un'area destinata temporaneamente allo stoccaggio delle pale e dei componenti, di dimensioni pari a circa 23 x 88 m, che potrà eventualmente solo essere spianata e livellata, al fine di ospitare i supporti a sostegno delle pale.

Sarà inoltre realizzata un'area ausiliaria di dimensioni approssimative 10 x 19 m che ospiterà le gru ausiliarie necessarie all'installazione del braccio della gru principale.

Le superfici delle piazzole realizzate per consentire il montaggio e lo stoccaggio degli aerogeneratori, verranno in parte ripristinate all'uso originario (piazzole di stoccaggio) e in parte ridimensionate (piazzole di montaggio), in modo da consentire facilmente eventuali interventi di manutenzione o sostituzione di parti danneggiate dell'aerogeneratore.

Le caratteristiche e la tipologia della sovrastruttura delle piazzole devono essere in grado di sostenerne il carico dei mezzi pesanti adibiti al trasporto, delle gru e dei componenti. Lo strato di terreno vegetale proveniente dalla decorticazione da effettuarsi nel luogo ove verrà realizzata la piazzola sarà opportunamente separato dal materiale proveniente dallo sbancamento per poterlo riutilizzare nei riporti per il modellamento superficiale delle scarpate e delle zone di ripristino dopo le lavorazioni.

Al termine dei lavori per l'installazione degli aerogeneratori, la sovrastruttura in misto stabilizzato verrà rimossa nelle aree di montaggio e stoccaggio componenti, nonché nelle aree per l'installazione delle gru ausiliarie e nella zona di stoccaggio pale laddove presente.

Infine, la realizzazione delle piazzole prevede opere di regimazione idraulica tali da garantire il deflusso regolare delle acque e il convogliamento delle stesse nei compluvi naturali esistenti, prevenendo dannosi fenomeni di dilavamento del terreno.

2.4 Area logistica di cantiere

Nelle vicinanze della sottostazione sarà realizzata un'area di cantiere di circa 2.500 mq utilizzata per l'installazione di prefabbricati, adibiti a uffici, magazzini, servizi etc... L'area sarà altresì utilizzata come deposito mezzi ed eventuale stoccaggio di materiali, per lo scarico delle pale (lunghezza pale pari a 85 m) dai comuni convogli di trasporto e carico su mezzi adatti per consentire un più agevole attraversamento all'interno dell'area del parco fino al sito di installazione.

Analogamente alcuni dei componenti dell'aerogeneratore verranno trasbordati dai convogli tradizionali e approvvigionati alle postazioni di montaggio mediante convogli più agili ovvero dotati di rimorchio semovente.

Montate le torri e installate su ciascuna delle loro sommità la navicella con il rotore e le pale, si procederà a smantellare i collegamenti ed i piazzali di servizio (opere provvisorie) in quanto temporanei e strumentali alla esecuzione delle opere, ripristinando così lo status quo ante.



2.5 Dimensioni Complessive e Stima Movimenti terra di Strade e Piazzole

Nel presente paragrafo sono illustrate le dimensioni complessive delle strade e le stime di massima dei volumi di terreno interessati dalla realizzazione delle:

- Nuove Strade
- Piazzole di Montaggio e definitive
- Aree temporanee di stoccaggio
- Svincoli Temporanei
- Cavidotto MT

La movimentazione dei terreni per lo scavo dei cavidotti sarà limitata alle zone di scavo stesso (il terreno viene accantonato nei pressi dello scavo stesso) e per i brevi periodi necessari alla posa dei cavi.

Nella tabella seguente è riportato il dettaglio degli esuberi.

	CER	Scavo (m ³)	Riporto (m ³)	Terreno necessario per i ripristini (m ³)
		Viabilità e Piazzole	Viabilità e Piazzole	Viabilità e Piazzole
F01	CER 17.05.04	829	0	-829
F02	CER 17.05.04	1.868	930	-938
F03	CER 17.05.04	712	2.118	1.406
F04	CER 17.05.04	1.769	923	-846
F05	CER 17.05.04	1.653	1.158	-495
F06	CER 17.05.04	3.916	748	-3.168
Esubero terreno pali di fondazione (mc)	CER 17.05.07	1.130		
Esubero terreno cavidotti (mc)	CER 17.05.04	1.245		
Esubero terreno plinti di fondazione	CER 17.05.04	3.600		
Esubero terreno provenite da demolizioni di conglomerato bituminoso per realizzazione cavidotti	CER 17.03.02	164		
Esubero cls proveniente dalle demolizioni delle piste cementate	CER 17.09.04	0		
Volume complessivo di terreno in esubero a fine lavori (mc)		4.869		

Tabella 2 - Movimento materie opere civili



ID_Tracciati cavidotti	Lunghezze (m)	Larg. Scavo (m)	Prof. (m)	Tipologia sezione	Scavo (m ³)	Riempimento (m ³)	Esubero (m ³)
CAVIDOTTO ESTERNO	19321	0.5	1.3	terreno (2A) per 14513 m + strada asfaltata (2B) per 4723 m + strada mistata per 85 m (2C)	12558.7	11592.6	966.05
F06-1	241	0.5	1.3	terreno (2A) per 241 m	156.7	144.6	12.05
F04-1	1731	0.5	1.3	terreno (2A) per 1053 m strada asfaltata (2B) per 656 m + strada mistata per 22 m (2C)	1125.2	1038.6	86.55
F05-2	407	0.5	1.3	terreno (1A) per 407 m	264.6	244.2	20.35
F04-2	348	0.5	1.3	terreno (2A) per 348 m	226.2	208.8	17.4
2-3	633	0.5	1.3	terreno (1A) per 633 m	411.5	379.8	31.65
F03-3	202	0.5	1.3	terreno (2A) per 202 m	131.3	121.2	10.1
3-4	700	0.5	1.3	terreno (1A) per 690 m + strada asfaltata (1B) per 4 m + strada mistata per 6 m (1C)	455.0	420	35
F01-4	542	0.5	1.3	terreno (1A) per 533 m + strada asfaltata (1B) per 9 m	352.3	325.2	27.1
F02-4	772	0.5	1.3	terreno (2A) per 772 m	501.8	463.2	38.6
Totale	24897	/	/	\	16183.1	14938.2	1244.85

Tabella 3 – Movimento materie, volumi di scavi e riporti cavidotti

Il materiale proveniente dagli scavi sarà accantonato temporaneamente nei pressi degli stessi siti di scavo (ad esempio nelle piazzole dei singoli aerogeneratori) e riutilizzato all'interno dello stesso sito o trasportato in altro sito all'interno del cantiere-impianto eolico per poi essere in seguito utilizzato per il ripristino di quelle aree da riportare alla situazione ante operam.

Dal momento che l'area delle piazzole di stoccaggio pale e delle aree adibite ad ospitare le gru ausiliarie verrà ripristinata, la stessa sarà rinaturalizzata mediante ricoprimento di terreno vegetale proveniente dallo scotico in fase di realizzazione e opportunamente stoccato.

Come è possibile evincere dalla tabella precedente per la realizzazione delle turbine di progetto sono previste delle fondazioni di tipo indiretto: ogni plinto di fondazione sarà dotato di 12 pali DN1000 di lunghezza pari a 20 metri. Complessivamente i terreni escavati per la realizzazione dei pali sommano a circa 1130,4 m³.

I lavori di realizzazione delle piazzole di montaggio, della viabilità a servizio delle turbine nonché i ripristini finali comporteranno la necessità di riutilizzare terreni in sito ("suolo non contaminato e altro materiale allo stato naturale escavato nel corso di attività di costruzione, ove sia certo che esso verrà riutilizzato a fini di costruzione allo stato naturale e nello stesso sito in cui è stato escavato") per circa **70.211 mc**.

Il volume di terreno in esubero complessivo a fine lavori è pari a ca. **4.869 mc** considerando le opere civili e i terreni in esubero delle fondazioni e dei cavidotti.

(cfr. "Piano preliminare di utilizzo in sito delle terre e rocce da scavo escluse dalla disciplina dei rifiuti" per maggiori informazioni).

3 Connessione alla RTN

Per la connessione dell'impianto eolico è prevista la posa di cavidotti, prima di interconnessione tra gli aerogeneratori di progetto, e poi di vettoriamento dell'energia elettrica prodotta fino alla futura sottostazione elettrica di trasformazione (SET) 30/36 kV prevista nel comune di Bisaccia (AV), e poi da qui al futuro ampliamento della stazione Terna di Bisaccia.

In particolare, l'energia prodotta dagli aerogeneratori del parco in oggetto verrà convogliata tramite un cavidotto interrato a 30 kV. A valle del cavidotto esterno in MT è prevista la realizzazione di una sottostazione elettrica di trasformazione situata nelle immediate vicinanze del punto di consegna.

Tale sottostazione, pertanto rappresenta la stazione utenza di trasformazione 30/36 kV. Il collegamento tra la sottostazione di trasformazione e la sottostazione di consegna verrà realizzato mediante cavo in alta tensione in modo da trasferire l'energia elettrica prodotta alla Rete di Trasmissione Nazionale (RTN) mediante il futuro ampliamento della SE di trasformazione a 380/150 kV, ubicata nel settore occidentale del territorio comunale di Bisaccia (AV).



Figura 4: Stralcio con indicazione della posizione della stazione utente Camelia Rinnovabili Srl, rispetto alla stazione Terna di smistamento a 150 kV



3.1 Cavidotti, rete elettrica e sottostazione

Le opere relative alla rete elettrica interna al parco eolico, oggetto del presente lavoro, possono essere schematicamente suddivise in due sezioni:

- opere elettriche di trasformazione e di collegamento fra aerogeneratori;
- opere di collegamento alla rete del Gestore Nazionale.

L'energia prodotta da ciascun aerogeneratore è trasformata da bassa a media tensione per mezzo del trasformatore installato a bordo navicella e quindi trasferita al quadro MT posto a base torre all'interno della struttura di sostegno tubolare.

Di qui l'energia elettrica prodotta da ciascun circuito (sottocampo) è trasferita mediante un cavidotto interrato MT al nuovo stallo per essere trasformata in alta tensione ed infine immessa nella rete di trasmissione nazionale AT di proprietà TERNA S.p.A.

Il trasporto dell'energia in MT avviene mediante cavi che verranno posati ad una profondità non inferiore a 120 cm, con un tegolo di protezione in prossimità dei giunti (nei casi in cui non è presente il tubo corrugato) ed un nastro segnalatore.

I cavi verranno posati in una trincea scavata a sezione obbligata che avrà una larghezza di 50 cm per una e due terne. Nella stessa trincea verranno posati i cavi di energia, la fibra ottica necessaria per la comunicazione e la corda di terra.

Presso la SSE è previsto:

- la misura dell'energia prodotta dal parco;
- la consegna a TERNA S.p.A.
- un ulteriore innalzamento della tensione da 30 kV a 36 kV;

La stazione elettrica sarà costituita da:

- N.1 stallo trasformatore da 30kV a 36kV;
- N.1 stallo di arrivo linea in cavo AT;
- N.1 edificio servizi per le apparecchiature MT e BT;
- Viabilità di accesso alla stazione elettrica e opere di accesso e recinzione.

Nella sottostazione elettrica sarà presente n.1 edificio utente suddiviso in più locali tecnici per il contenimento delle apparecchiature MT, BT di stazione.

Per tutti i locali è prevista un'altezza fuori terra massima di 3.20 m come quota finita. Le dimensioni in pianta del fabbricato sono: lunghezza 15,5 m, profondità 6,0 m con annesso locale di misura.

L'edificio conterrà i locali adibiti alle seguenti funzioni:

- Locale MT
- Locale BT
- Locale Gruppo Elettrogeno
- Locale Misure
- Locale Telecontrollo Aerogeneratori
- Locale Tecnico



4 Ripristini e Stato finale dell'opera

Al termine dei lavori, cioè quando non è più richiesta la presenza dei mezzi di trasporto di grandi dimensioni, "l'uso di suolo" sarà molto limitato in quanto molte delle aree impegnate in fase di cantiere verranno ripristinate al loro stato originario.

Si prevede, inoltre, la riduzione delle piazzole a servizio degli aerogeneratori ed il ripristino di tutti gli allargamenti temporanei, nonché delle aree di cantiere e trasbordo.

Tutte le scarpatine ai bordi della viabilità e delle piazzole definitive dell'impianto saranno oggetto di interventi di rinverdimento con specie arbustive ed arboree autoctone.

Le opere di ripristino del terreno vegetale superficiale possono attenuare notevolmente gli impatti sull'ambiente naturale, annullandoli quasi del tutto nelle condizioni maggiormente favorevoli. Tali opere hanno anche la finalità di evitare o limitare i fenomeni erosivi innescati dalla sottrazione e dalla modifica dei suoli. Inoltre, la ricostituzione della coltre erbosa può consentire notevoli benefici anche per quanto riguarda le problematiche legate all'impatto visivo.

Le stesse opere, inoltre, devono essere realizzate in funzione dello specifico sito di installazione del parco eolico, per cui la tipologia di piante e materiali impiegati a tale scopo dovrà essere adottata seguendo il criterio dell'uso di semine autoctone e materiali naturali.

Le aree che saranno ripristinate allo stato originario sono chiaramente evidenziate negli elaborati di progetto e possono essere così sintetizzate:

- Piazzole di stoccaggio;
- Piazzole di montaggio (saranno ridimensionate e la parte restante verrà ripristinata);
- Scarpate delle Piazzole di montaggio;
- Aree per lo stoccaggio dei componenti e delle pale;
- Aree per l'installazione del braccio della gru principale;
- Allargamenti e manti stradali;
- Area di cantiere e trasbordo.

Saranno ripristinati i manti stradali utilizzando quanto più possibile i materiali di risulta dello scavo stesso; naturalmente, dove il manto stradale sarà di tipo sterrato sarà ripristinato allo stato originale mediante un'operazione di costipatura del terreno, mentre dove eventualmente il manto stradale è in materiale asfaltato sarà ripristinato l'asfalto asportato.

Per le scarpate (zone in scavo e riporto) sono previste in generale pendenze contenute, in modo da poter intervenire quasi esclusivamente con riporti di terreno vegetale e, quindi, consentire un efficace ripristino del manto vegetale senza alcuna necessità di ricorso ad operazioni più complesse ed onerose.



5 Dimensionamento dell'impianto

Il sito in cui è prevista la realizzazione dell'impianto eolico in progetto interessa i territori comunali di: Bisaccia, Guardia Lombardi, Rocca San Felice, Frigento e Sturno.

Nella tabella sottostante sono illustrate le coordinate delle posizioni scelte per l'installazione degli aerogeneratori ubicati tutti nel territorio del comune di Frigento.

WTG	D rotore	H tot	Coordinate UTM-WGS84 fuso 33		Coordinate GB-Roma 40 fuso est	
			E	N	E	N
F01	170	200	513704	4539469	2533712	4539477
F02	170	200	513015	4539500	2533023	4539508
F03	170	200	513527	4538308	2533535	4538315
F04	170	200	513077	4537699	2533085	4537707
F05	170	200	513497	4537532	2533505	4537339
F06	170	200	513760	4536859	2533768	4536867

Tabella 4 - ubicazione planimetrica degli aerogeneratori di progetto

L'impianto è costituito da 6 aerogeneratori SG 6,6-170 di grande taglia con potenza nominale unitaria pari a 6,6 MW forniti dalla società Siemens Gamesa.

L'aerogeneratore ha le seguenti caratteristiche dimensionali:

SG 6,6-170
• potenza nominale aerogeneratore: 6,6 MW
• altezza hub: 115 m
• diametro rotore: 170 m
• altezza totale 200 mt

Negli studi ambientali e specialistici sono stati utilizzati i parametri in generale più penalizzanti per i diversi aspetti a favore di sicurezza per gli eventuali impatti potenziali previsti.

Il layout di impianto è scaturito tenendo in considerazione i seguenti fattori principali:

- condizioni geomorfologiche del sito;
- direzione principale del vento;
- vincoli ambientali e paesaggistici;
- distanze di sicurezza da infrastrutture e fabbricati;
- pianificazione territoriale ed urbanistica in vigore.

Il tutto come meglio illustrato negli studi specialistici facenti parte integrante del progetto.



5.1 Regime di vento del sito e disposizione ed orientamento degli aerogeneratori

Le valutazioni anemologiche di producibilità sono state effettuate considerando il modello di WTG SG 6,6-170, della Siemens Gamesa, con potenza nominale pari a 6,6 MW e complessiva di 39,6 MW.

Gradi	%
0-10	4.1
10-20	3.5
20-30	2.5
30-40	1.8
40-50	1.7
50-60	2.15
60-70	2.75
70-80	3
80-90	2.5
90-100	1.5
100-110	0.7
110-120	0.4
120-130	0.4
130-140	0.7
140-150	1.35
150-160	1.75
160-170	1.8
170-180	1.85
180-190	1.95
190-200	2.5
200-210	4.5
210-220	7
220-230	7.1
230-240	6.6
240-250	7
250-260	6
260-270	5
270-280	5
280-290	4
290-300	2.5
300-310	1.85
310-320	1.6
320-330	1.65
330-340	1.9
340-350	2.5
350-360	3.6

Tabella 5: Distribuzione in frequenza dei venti

Nell'ambito del processo di progettazione di un impianto eolico e più in generale nelle fasi dello sviluppo del sito è necessario conoscere con una buona affidabilità la consistenza della risorsa eolica disponibile e quindi della sua produzione attesa. Il sito di Frigento è in corso di sviluppo da



parte di Camelia Rinnovabili Srl, l'area può essere classificata come semplice senza ostacoli significativi, con accesso garantito da strade Statali e locali, in ottime condizioni.

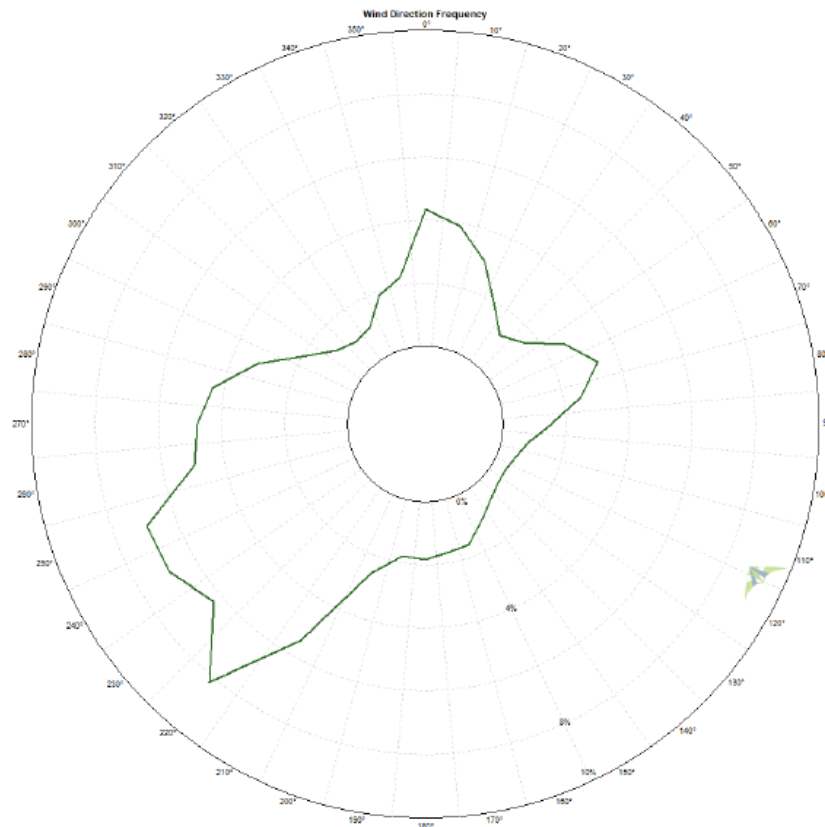


Figura 4: Rosa dei venti

FRIGENTO LAYOUT - Individual turbine results			
Turbine	Mean WS [m/s]	Net Energy [GWh/annum]	Wake Loss [%]
F06	5.70	11.79	9.5
F02	5.51	11.93	2.6
F01	5.76	12.47	6.5
F03	5.73	12.20	7.4
F05	5.69	12.70	2.2
F04	5.73	12.12	7.7

Tabella 6: Tabella riepilogativa 1



	SG170-6.6MW	
Mean wind speed	5.69	m/s
Mean elevation	709	m
Average air density	1.123	Kg/m ³
Installed capacity	39.6	MW
Gross Energy Output	85.5	GWh/year
Wake effect	94.0	%
Availability	95.8	%
Electrical efficiency	96.5	%
Turbine Performance	98.9	%
Environmental	99.5	%
WSM Curtailments	100.0	%
Total Losses	85.5	%
Net Energy output	73.1	GWh/year
Net Capacity Factor	21.1	%
Net equivalent number of hours	1846	hours

Tabella 7: Tabella riepilogativa 2



5.2 Impianto elettrico

I cavi principali MT saranno dimensionati in modo tale che risulti soddisfatta la relazione:

$$I_b \leq I_z$$

$$\Delta V\% \leq 4\%$$

dove:

- I_b è la corrente di impiego del cavo;
- I_z è la portata del cavo, calcolata tenendo conto del tipo di cavo e delle condizioni di posa;
- $\Delta V\%$ è la massima caduta di tensione calcolata a partire dalla cabina di consegna fino all'aerogeneratore più lontano (massima caduta di tensione su ogni sottocampo).

Come sopra accennato, il parco eolico in progetto sarà connesso alla Rete di Trasmissione Nazionale per mezzo di un nuovo stallo condiviso con altri produttori realizzato nel territorio comunale di Montemilone.

Gli aerogeneratori del campo saranno suddivisi in 2 circuiti (o sottocampi):

- Sottocampo 1: 6.6 x 3 = 19,8 MW (F01 - F02 -F03- SSE);
- Sottocampo 1: 6.6 x 3 = 19,8 MW (F04 - F05 -F06- SSE);

Circuito	Tratto	Potenza		I_b (corrente di impiego)	I_o min - portata minima del cavo	Sezione cavo	I_o	I_z (Portata)	Lunghezza	Caduta di tensione	Caduta di tensione	Caduta di tensione complessiva
		MW	n. terne	A	A	mmq	A	A	m	V	%	%
1	F01-4	6.6	1	118	118	240	370	370	141	9.6	0.03%	0.03%
	F02-4	6.6	2	118	137	240	370	318	141	15.9	0.04%	0.07%
	F02-4	13.2	2	235	274	400	478	411	282	20.6	0.06%	0.13%
	3-4	13.2	1	235	235	400	478	478	282	16.0	0.04%	0.17%
	F03-3	13.2	2	235	274	400	478	411	282	5.4	0.01%	0.19%
	F03-3	19.8	2	353	410	630	620	533	423	5.4	0.01%	0.20%
	2-3	19.8	1	353	353	630	620	620	423	15.2	0.04%	0.24%
	F04-2	19.8	2	353	410	630	620	533	423	9.3	0.03%	0.27%
	F04-1	19.8	2	353	410	630	620	533	423	46.2	0.13%	0.40%
CAVIDOTTO ESTERNO	19.8	2	353	410	630	620	533	423	515.3	1.43%	1.83%	
2	F05-2	6.6	1	118	118	240	370	370	407	7.2	0.02%	0.02%
	F04-2	6.6	1	118	118	240	370	370	348	6.2	0.02%	0.04%
	F04-1	13.2	2	235	274	630	620	533	1731	30.8	0.09%	0.12%
	F06-1	13.2	1	235	235	630	620	620	241	3.7	0.01%	0.13%
	F06-1	19.8	2	353	410	630	620	533	241	6.4	0.02%	0.15%
	CAVIDOTTO ESTERNO	19.8	2	353	410	630	620	533	19321	515.3	1.43%	1.58%

Tabella 8: perdite di tensione nei cavi

Il collegamento tra il montante in AT condiviso nell'area della SET di Camelia Rinnovabili S.r.l e la futura Stazione Elettrica (SE) RTN a 150 kV sarà realizzato mediante cavo in alta tensione interrato.

La rete di cavidotti MT si estende per circa 47,5 Km, si riporta in tabella il calcolo delle perdite di tensione nei cavi elettrici.

I cavi verranno posati ad una profondità non inferiore a 120 cm, con un tegolo di protezione in prossimità dei giunti (nei casi in cui non è presente il tubo corrugato) ed un nastro segnalatore. I cavi verranno posati in una trincea scavata a sezione obbligata che avrà una larghezza di 50 cm per una e due terne.

Nella stessa trincea verranno posati i cavi di energia, la fibra ottica necessaria per la comunicazione e la corda di terra.

Dove necessario si dovrà provvedere alla posa indiretta dei cavi in tubi, condotti o cavedi.

Le figure seguenti riportano alcune sezioni tipo del cavidotto:

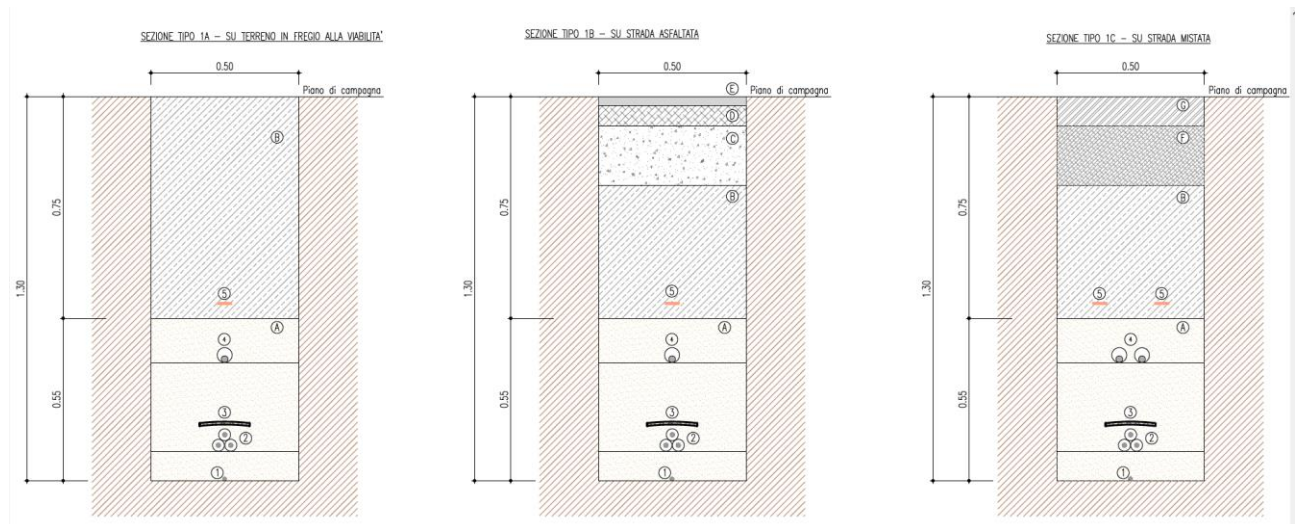


Figura 5: sezioni tipo 1A ,1B e 1C

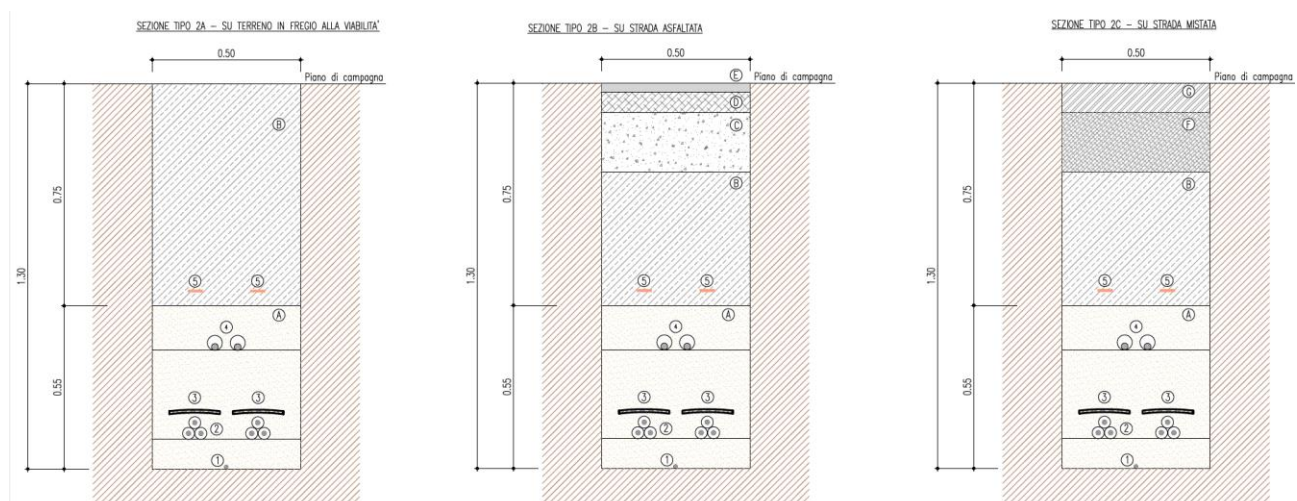


Figura 6: sezioni tipo 2A ,2B e 2C



LEGENDA		
(A) Sabbia ϕ 0-3 mm	(F) Stabilizzato ϕ 0-25 mm	(3) Tegolino di protezione
(B) Rintiro con terreno proveniente dagli scavi	(G) Conglomerato bituminoso - Strato di base	(4) Fibra ottica in tubazione ϕ 50
(C) Terreno vegetale	(H) Conglomerato bituminoso - Strato di collegamento (Bynder)	(5) Nastro monitore
(D) Conglomerato cementizio C 15/25	(1) Cavo di terra	(6) Cavidotto in PEAD SN 8 ϕ 150
(E) Pietrisco ϕ 70-120 mm	(2) Cavi MT	

Figura 7: Legenda



6 Criteri di scelta delle soluzioni impiantistiche di protezione contro i fulmini, con l'individuazione e la classificazione del volume da proteggere

Nel presente capitolo si effettua la valutazione del rischio di fulminazione delle strutture facenti parte dell'impianto eolico in oggetto, con riferimento al rischio di perdita di vita umana. Il calcolo non tiene conto del fatto che l'area in esame, data la sua collocazione, è caratterizzata da una scarsa presenza di persone, che di fatto riduce la probabilità di danno a valori inferiori a quelli risultanti dall'applicazione della suddetta procedura.

6.1 Individuazione delle strutture da proteggere

Le strutture da installare all'interno dell'impianto eolico di "Taverna del Principe" consistono in:

- gli aerogeneratori comprendenti al loro interno tutte le apparecchiature elettriche
- nuovo impianto di trasformazione MT/AT

Per tali strutture si è proceduto al calcolo del solo rischio di perdita di vite umane (rischio di tipo 1), secondo quanto previsto dalla Norma CEI EN 62305-2.

6.2 Calcolo delle componenti di rischio

L'impostazione della valutazione del rischio secondo la Norma CEI EN 62305-2 si basa sulle seguenti definizioni:

Sorgenti di danno

S1: fulmine sulla struttura

S2: fulmine in prossimità della struttura

S3: fulmine sulla linea

S4: fulmine in prossimità della linea

Tipo di danno

D1: danno ad esseri viventi per elettrocuzione

D2: danno materiale

D3: guasto di impianti elettrici ed elettronici

Tipo di perdita

L1: perdita di vite umane, alla quale è associato il rischio R1

L2: perdita di servizio pubblico, alla quale è associato il rischio R2

L3: perdita di patrimonio culturale insostituibile, alla quale è associato il rischio R3

L4: perdita economica, alla quale è associato il rischio R4

Nel presente documento si fa riferimento alla sola perdita di vite umane (L1), in quanto le altre non sono di interesse per il caso specifico.

Componenti di rischio





Le singole componenti di rischio definite nella suddetta norma sono le seguenti:

Sorgente S1

- RA = componente relativa ai danni ad esseri viventi per elettrocuzione dovuta a tensioni di contatto e di passo all'interno della struttura e all'esterno in zone fino a 3 m attorno alle calate.
- RB = componente relativa ai danni materiali causati da scariche pericolose all'interno della struttura che innescano l'incendio e l'esplosione e che possono anche essere pericolose per l'ambiente.
- RC = componente relativa al guasto di impianti interni causata dal LEMP (impulso elettromagnetico del fulmine)

Sorgente S2

- RM = componente relativa al guasto di impianti interni causata dal LEMP (impulso elettromagnetico del fulmine)

Sorgente S3

RU = componente relativa ai danni ad esseri viventi dovuti a tensioni di contatto all'interno della struttura dovuta alla corrente di fulmine iniettata nella linea entrante nella struttura stessa.

RV = componente relativa ai danni materiali (incendio o esplosione innescati da scariche pericolose fra installazioni esterne e parti metalliche, generalmente nel punto d'ingresso della linea nella struttura) dovuti alla corrente di fulmine trasmessa attraverso la linea entrante.

RW = componente relativa al guasto di impianti interni causata da sovratensioni indotte sulla linea e trasmesse alla struttura.

Sorgente S4

RZ = componente relativa al guasto di impianti interni causata da sovratensioni indotte sulla linea e trasmesse alla struttura.

La Tabella seguente della Norma, di seguito riportata, associa le componenti di rischio ai rischi relativi a ciascun tipo di perdita.

Sorgente di danno	Fulminazione diretta della struttura (S1)			Fulminazione in prossimità della struttura (S2)	Fulminazione diretta di una linea entrante (S3)	Fulminazione in prossimità di una linea entrante (S4)		
	R _A	R _B	R _C			R _V	R _W	R _Z
Componente di rischio	R _A	R _B	R _C	R _M	R _U	R _V	R _W	R _Z
Rischio per ciascun tipo di perdita								
R1	X	X	X ⁽¹⁾	X ⁽¹⁾	X	X	X ⁽¹⁾	X ⁽¹⁾
R2		X	X	X		X	X	X
R3		X				X		
R4	X ⁽²⁾	X	X	X	X ⁽²⁾	X	X	X

⁽¹⁾ Solo nel caso di strutture con rischio di esplosione, di ospedali o di altre strutture, in cui i guasti di impianti interni provocano immediato pericolo per la vita umana

⁽²⁾ Soltanto in strutture ad uso agricolo in cui si può verificare la perdita di animali



Nel caso in esame, ove è di interesse il solo rischio R1 si ha pertanto:

$$R_1 = R_A + R_U + R_B + R_V$$

Il calcolo delle componenti di rischio è effettuato con le seguenti formule:

$$R_A = N_D \times P_A \times L_A \text{ dove: } L_A = r_t \times L_T \times n_z / n_t \times t_z / 8760$$

$$R_B = N_D \times P_B \times L_B \text{ dove: } L_B = r_p \times r_f \times h_z \times L_F \times n_z / n_t \times t_z / 8760$$

$$R_U = (N_L + N_{Dj}) \times P_U \times L_U \text{ dove: } L_U = r_t \times L_T \times n_z / n_t \times t_z / 8760$$

$$R_V = (N_L + N_{Dj}) \times P_V \times L_V \text{ dove: } L_U = r_p \times r_f \times h_z \times L_F \times n_z / n_t \times t_z / 8760 \text{ e}$$

dove:

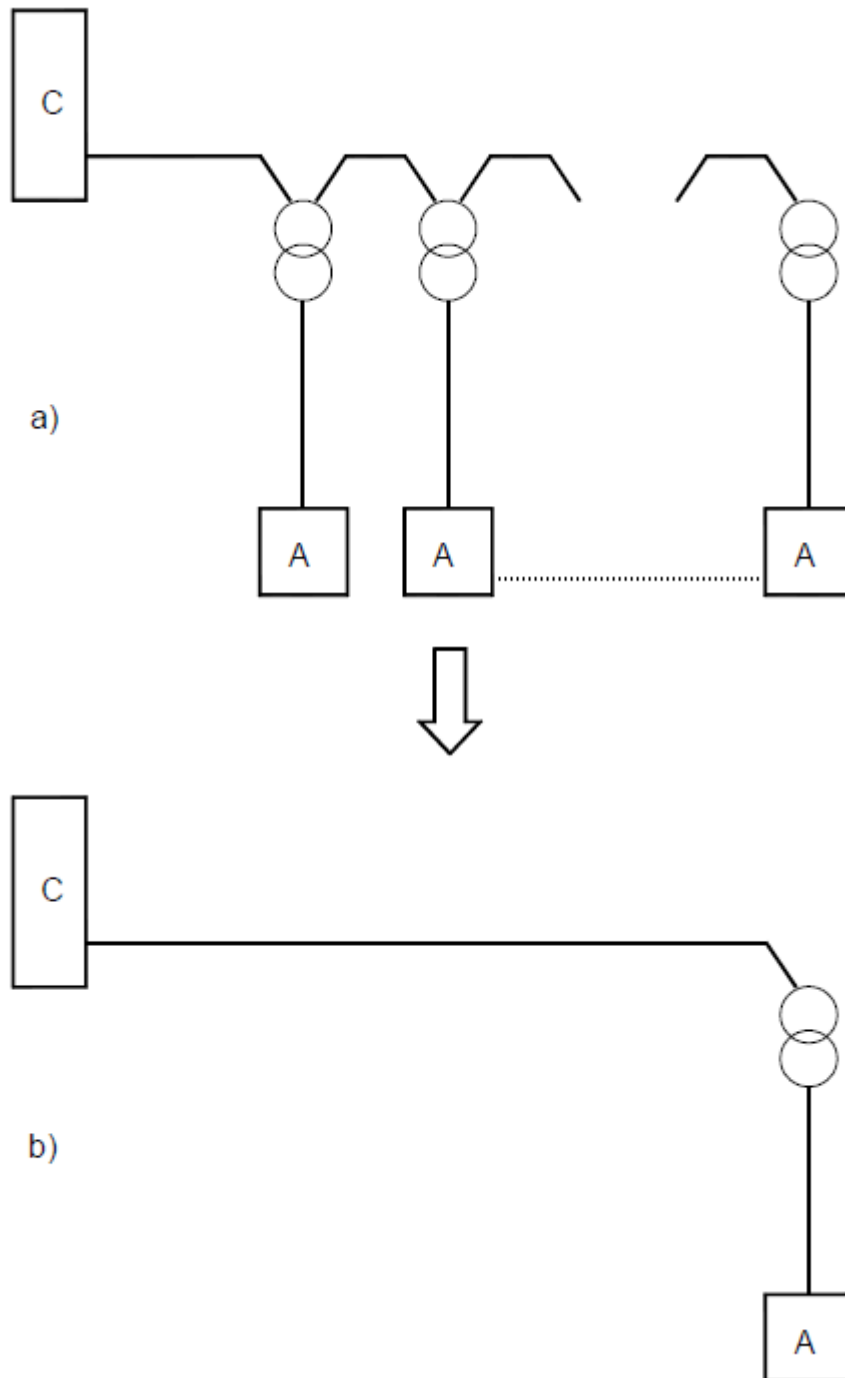
- N_D = numero di eventi pericolosi per fulminazione diretta della struttura
- N_L = numero di eventi pericolosi per fulminazione diretta di una linea
- N_{Dj} = numero di eventi pericolosi per fulminazione diretta della struttura adiacente
- P_A = probabilità di danno ad esseri viventi (fulminaz. sulla struttura)
- P_B = probabilità di danno materiale in una struttura (fulminaz. sulla struttura) P_U = probabilità di danno ad esseri viventi (fulminaz. sul servizio connesso)
- P_V = probabilità di danno materiale in una struttura (fulminaz. sul servizio connesso)
- L_T = percentuale media di vittime per elettrocuzione (D1) causato da un evento pericoloso
- L_F = percentuale media di vittime per danno materiale (D2) causato da un evento pericoloso
- r_t = fattore di riduzione dipendente dal tipo di terreno o pavimentazione
- r_p = fattore di riduzione delle perdite correlato alle misure antincendio
- r_f = fattore di riduzione delle perdite correlato al carico di incendio
- h_z = fattore che incrementa le perdite in presenza di pericoli particolari n_z = numero delle persone nella zona
- n_t = numero di persone nella struttura
- t_z = tempo in ore all'anno per cui le persone sono presenti nella zona

Individuazione delle strutture da proteggere e delle linee ad esse collegate

Per l'impianto in oggetto le strutture da proteggere sono le seguenti:

- Aerogeneratori (A)
- Stazione elettrica SSE AT/MT (C)

Il collegamento tra tali strutture è schematizzato nella seguente figura seguente: si nota la presenza di un trasformatore (MT/BT) in corrispondenza dell'arrivo di ciascun aerogeneratore



Sulla base delle caratteristiche delle strutture in esame e delle modalità di collegamento tra di esse si può affermare quanto segue:

- relativamente agli aerogeneratori, la componente N_{Da} che tiene conto del rischio di danno materiale causato da un fulmine che colpisce la struttura connessa a quella in esame, può ritenersi nullo, in quanto gli aerogeneratori sono tra loro separati da due trasformatori. Pertanto, ai fini del calcolo del rischio dovuto a fulminazione indiretta lo schema equivalente da considerare è quello di figura (b), dove sono state trascurate le connessioni fra aerogeneratori;



- relativamente alla cabina di consegna, la linea che alimenta il sottocampo, ai fini del calcolo della probabilità di fulminazione indiretta tale linea è schematizzata come un'unica linea equivalente;
- ai fini del calcolo delle probabilità PU e PV, per tale linea è stata considerata cautelativamente una tensione di tenuta all'impulso $U_m = 6 \text{ kV}$, anche se, la loro tensione di tenuta all'impulso è senz'altro maggiore;
- sempre ai fini del calcolo delle probabilità PU e PV, tale linea è caratterizzata da uno schermo avente resistenza $1 < R_s < 5 \text{ } \Omega/\text{km}$;
- coefficienti di installazione CI delle linee sopra dette, riportati in tabella A.2 (Norma CEI 81-10), sono riferiti a $\rho = 400 \text{ } \Omega\text{m}$.

I parametri di base assunti per il calcolo del rischio di fulminazione sono i seguenti (desunti da una banca dati europea conforme alla guida CEI 81-30):

- $N_g = 1.80 \text{ fulmini/anno/km}^2$ – area parco eolico;
- $N_g = 2.00 \text{ fulmini/anno/km}^2$ – area SET.

Tipi di struttura: Struttura di tipo industriale

Tipo di suolo fino a 5m di distanza dalla struttura:

- SSE AT/MT: cemento
- Aerogeneratori: vegetale

Rischio di incendio:

- Aerogeneratori: ordinario
- Cabina di consegna: ordinario

Rischio ammissibile: 10^{-5} (n° morti/anno)

Coefficiente di posizione delle strutture:

- SSE AT/MT: $C_d = 1$ (struttura isolata)
- Aerogeneratori: $C_d = 2$ (struttura isolata sulla cima di una collina).

Sulla base dei risultati ottenuti attraverso l'utilizzo di apposito software (Impiantus - Fulmini ACCA Software) si può concludere che le strutture non autoprotette sono gli aerogeneratori, a causa dell'elevata componente di rischio RA.

Per la SSE AT/MT il rischio ottenuto è inferiore al valore limite, nonostante le numerose ipotesi cautelative assunte per i calcoli.

Per quanto riguarda gli aerogeneratori, per ridurre la componente di rischio RA, secondo la Tabella B.2 della Norma verrà adottato un LPS di classe I unito ad un adeguato sistema disperdente per limitare le tensioni di passo e contatto.

In tal modo i nuovi valori del rischio calcolato R saranno compatibili con la normativa di settore.

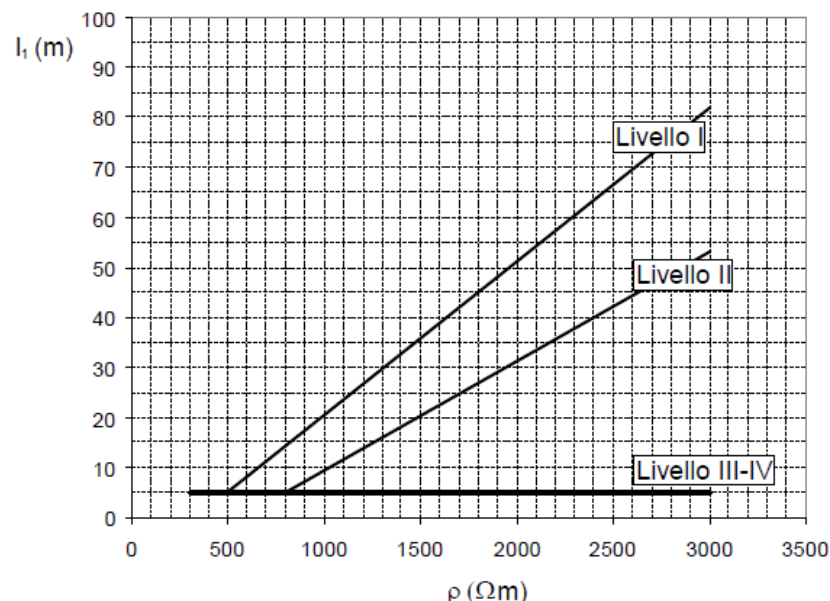
6.3 Verifica del dispersore dell'aerogeneratore ai fini della protezione contro i fulmini

La verifica si riferisce al dispersore dell'aerogeneratore il quale dovrà assolvere agli scopi di protezione contro i contatti indiretti e di protezione contro le scariche atmosferiche (LPS).

Il dispersore sarà posato intorno alla struttura dell'aerogeneratore e sarà formato da almeno quattro anelli di cui tre posati sopra la fondazione ed uno annegato all'interno della stessa. Gli anelli saranno collegati tra loro nel collettore principale.

Con riferimento alla Norma CEI EN 62305-3 il dispersore d'impianto è di tipo B; appartengono a questo tipo di dispersore sia quello ad anello esterno alla struttura in contatto con il suolo per almeno l'80% della sua lunghezza totale, sia il dispersore di fondazione. Nel caso in esame, l'anello che circonda il basamento del sostegno di ogni singolo aerogeneratore dovrà essere tale che, il raggio r del cerchio equivalente all'area racchiusa dallo stesso dispersore ad anello, non risulti essere inferiore al valore di l_1 rilevato dal grafico riportato nella figura seguente (vedi Fig.2 par.5.4.2.1 Norma CEI EN 62305-3), secondo i livelli di protezione I, II, III, IV rispettivamente.

Nel caso in oggetto, poiché il LPS è di livello I nel caso dell'aerogeneratore e la resistività del suolo è pari a $100 \Omega m$, si ha di $l_1 = 5 m$.

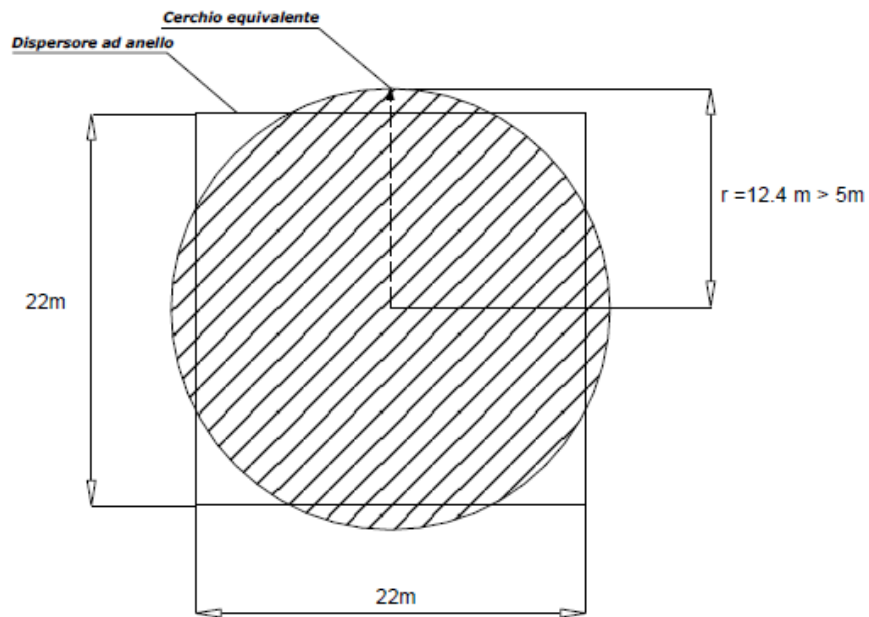


Lunghezza minima degli elementi del dispersore in funzione dei livelli di protezione (il III e IV sono indipendenti dalla resistività del suolo)

Dovrà essere pertanto:

$$r \geq 5m$$

Nel caso dell'aerogeneratore risulta che il raggio del cerchio equivalente all'area del dispersore di terra dell'aerogeneratore misura 13 m circa; pertanto, è conforme alla suddetta prescrizione normativa.



Raggio del cerchio equivalente all'area del dispersore ad anello tipo "B" di ogni singolo aerogeneratore